

Influences of NiO Precursors on Microstructures and Conductivities of Ni/YSZ Anodes in SOFCs

Younji Jeong,^{*†} Haiwon Lee,^{*} Kyoung R. Han, and Chang-Sam Kim

Division of Materials Science and Engineering, Korea Institute of Science and Technology, Seoul 130-650, Korea

^{*}Department of Chemistry, Hanyang University, Seoul 133-791, Korea

(Received March 6, 2006; Accepted July 11, 2006)

NiO 전구체가 고체산화물 연료전지 Ni/YSZ 음극의 미세구조와 전기전도도에 미치는 영향

정윤지^{*†} · 이해원^{*} · 임경란 · 김창삼

한국과학기술연구원 재료연구부

*한양대학교 화학과

(2006년 3월 6일 접수; 2006년 7월 11일 승인)

ABSTRACT

NiO/YSZ(70 wt%NiO) composite powders were prepared by ball-milling of 8YSZ and NiO precursors, dried and then followed by calcination. The approach was to combine acidic $\text{Ni}(\text{NO}_3)_2 \cdot 6\text{H}_2\text{O}$ and basic $2\text{NiCO}_3 \cdot 3\text{Ni(OH)}_2 \cdot 4\text{H}_2\text{O}$ via acid-base reaction as a mixed NiO precursor. Their effects were studied in the aspects of DSC, microstructure, porosity, and electrical conductivity. Ni/YSZ composite of 1N9C (1 mole NiO from the nitrate and 9 moles of NiO from the carbonate) was prepared by consolidation at 1400°C for 3 h, and then followed by reduction at 1000°C for 3 h under flowing of 6% H_2/N_2 . It showed a homogeneous microstructure with ~20% porosity and 1880 S/cm at 1000°C.

Key words : SOFC, Ni/YSZ cermet, NiO precursors, Acid-base reaction, Electrical conductivity

1. 서 론

고체 산화물 연료전지(SOFC)는 환경친화적이며 높은 에너지 효율을 가지고 있어 차세대 에너지 변환시스템으로 각광받고 있다.^{1,2)} SOFC를 구성하고 있는 요소로는 양극, 음극, 전해질, 분리판, 밀봉재가 있는데, 이중 음극물질로 가장 많이 쓰이고 있는 Ni/YSZ 복합체는 Ni의 촉매 특성이 우수하고 값이 저렴할 뿐만 아니라 고온의 환원 분위기에서도 안정하다.^{3,4)} 음극복합체의 전기 화학적인 반응은 Ni과 YSZ와 기공으로 구성된 TPB(Triple Phase Boundary)에서 일어나기 때문에 TPB 영역이 증가하는 것이 바람직하며 이는 NiO/YSZ 복합분말 성질에 의존하는 것으로 보고되고 있다.⁵⁻⁷⁾

NiO/YSZ 복합분말은 NiO 분말과 YSZ 분말을 혼합하는 방법으로는 균일하게 얻기 힘드므로, 습식 방법으로 균일한 복합 분말을 제조하려는 시도가 보고되어 왔다. 용액 열분해방법,⁶⁾ 연소 합성법,^{7,8)} 침전법,⁹⁻¹¹⁾ NiO와 YSZ

의 알콜 슬러리에 바인더를 첨가한 후 이 슬러리를 물과 혼합함으로서 바인더가 NiO/YSZ 복합분말을 둘러싼 형태로 침전으로 떨어지게 하는 코팅-침전 방법,^{12,13)} mechanofusion,¹⁴⁾ 젤로 침전시키는 방법¹⁵⁾ 등이 알려져 있다. 또한 Ni/YSZ의 기공률을 높이기 위하여 NiO/YSZ 분말에 graphite, polymer 등을 첨가하는데,^{5,13)} 이들을 균일하게 분산하여 균일한 기공을 얻는 것이 쉽지 않으며, 이를 태워 제거해야 하는 단점이 있다. 따라서 저렴한 원료를 이용하여, 간단한 공정으로 균일한 NiO/YSZ 복합분말 제조 방법을 개발하는 것이 중요한 실정이다.

본 연구에서는 NiO 전구체간의 화학적 성질을 이용하여 균일한 NiO/YSZ 분말을 제조하여 기공 첨가제 없이 높은 기공율, 균일한 미세구조의 Ni/YSZ 복합체를 얻을 수 있는 방법을 소개하고자 한다.

2. 실험 방법

출발원료로는 YSZ(TZ-8Y, Tosoh Chem. Co., 일본)와 NiO 전구체로 $\text{NiNO}_3(\text{Ni}(\text{NO}_3)_2 \cdot 6\text{H}_2\text{O}$, 순도 98.0%, Junsei, 일본), $\text{NiCO}_3(2\text{NiCO}_3 \cdot 3\text{Ni(OH)}_2 \cdot 4\text{H}_2\text{O}$, 순도 99.0%, Aldrich Chem. Co., 미국)를 사용하였다. 이때 NiNO_3 와

[†]Corresponding author : Younji Jeong

E-mail : fishj@nate.com

Tel : +82-2-958-5543 Fax : +82-2-958-5548

Table 1. Mole Ratio of NiNO_3 and NiCO_3

	10C	1N9C	4N6C	10N
NiNO_3	0	1	4	10
NiCO_3	10	9	6	0

NiCO_3 로 부터 생성되는 NiO 의 몰 비를 변화하여 4종류의 NiO/YSZ 복합 분말을 제조하였으며, 이를 Table 1에 나타내었다.

YSZ와 NiO 전구체 분말을 혼합할 때 이소프로필 알콜을 용매로 하고 지르코니아 볼(직경 5 mm)을 사용하여 24시간 동안 볼 밀링으로 슬러리를 제조한 다음 회전 증발기를 이용하여 건조하였다. 열분석은 TG/DSC(모델 STA409, Netzsch사, 독일)를 사용하여 건조한 분말(~30 mg)을 Pt/Rh crucible에 넣고 흐르는 공기 분위에서 $10^\circ\text{C}/\text{min}$ 로 1300°C 까지 승온하며 TG/DSC 변화를 측정하였다. 무게 감소는 400°C 에서 거의 다 이루어졌으며, NiO 상이 발달할 수 있도록 $5^\circ\text{C}/\text{min}$ 로 800°C 까지 승온하여 2시간 동안 하소하였다. 또한 입자의 크기를 키우기 위하여 그 중 일부를 취하여 막자사발에서 같은 후 다시 $10^\circ\text{C}/\text{min}$ 로 1200°C 까지 승온하여 2시간 동안 열처리하였다. 하소한 분말을 알콜에서 볼 밀링으로 12시간 동안 분쇄한 후 3 wt%의 PVB(Butvar 79, Monsanto Chem. Co., 미국)를 첨가하고 2시간 더 밀링한 다음 회전 증발기로 용매를 제거하여 건조하였다. 건조된 분말을 100메쉬 체를 통과시킨 후 400 kg/cm^2 으로 일축 성형하여 $15 \times \sim 2 \text{ mm}$ 디스크를 제조하였고, 전도도 측정을 위한 시편은 2000 kg/cm^2 으로 일축 성형하여 $50 \times 4 \times \sim 4 \text{ mm}$ 크기의 막대 시편을 제조하였다. 소결은 알루미나 관상노에서 산소 가스를 흘려주며 1400°C 에서 3시간 동안 소결하여 녹색의 NiO/YSZ 복합체를 얻었다. 이 시편을 6% H_2/N_2 가스를 40 ml/min 로 흘려주며 $10^\circ\text{C}/\text{min}$ 으로 승온하여 1000°C 에서 3시간 동안 환원하여 Ni/YSZ 복합체를 얻을 수 있었다. NiO/YSZ 의 상 변화는 X-ray diffractometer(모델 Axs. D8. Advance, Bruker사, 독일)를 사용하여 $\text{CuK}\alpha$ 에서 회절 각은 $2\theta=25\text{--}55^\circ$, scan speed= $3^\circ/\text{min}$, scan step= 0.02° , 발생전압과 전류는 각각 40 kV와 30 mA로 하여 측정하였다. Ni/YSZ 복합체의 밀도는 중류수에 시편을 넣고 1시간 정도 끓인 후 아르카메데스법으로 측정하였다. 환원된 상태의 Ni/YSZ 시편 자체와 끓은 질산에 24시간 담가 Ni 이 녹아 난 백색의 YSZ 시편을 SEM(모델 S-3000H, Hitachi사, 일본)으로 관측하였다. 전도도는 환원한 막대 시편을, 4-단자법을 이용해 측정하였는데, Fig. 1에 나타낸 것처럼 0.5 mm 백금 선을 막대 시편의 흠에 묶은 다음, 각각 전압과 전류계에 연결하여 4% H_2/Ar 의 가스를 흘려주며 $10^\circ\text{C}/\text{min}$ 로 1000°C 까지 올렸다 내리면서 전압을 측정하여 전도도를 얻었다.

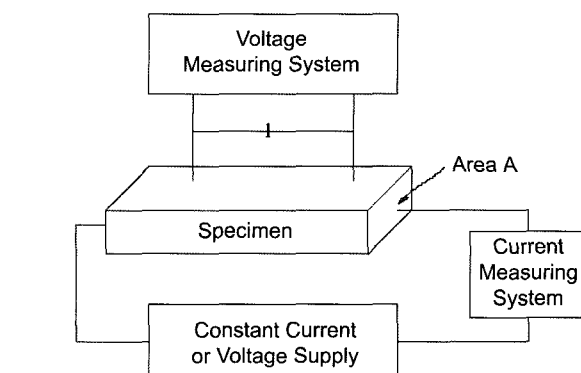
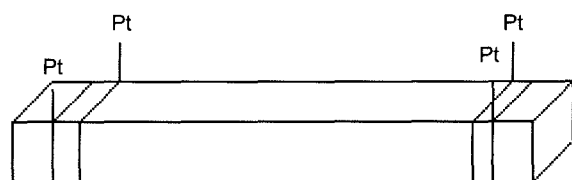


Fig. 1. Schematic diagram of the measuring system of electrical conductivity.

3. 결과 및 고찰

NiO 전구체가 NiO/YSZ 복합분말 제조시 미치는 영향을 보기 위하여, 염기성인 NiCO_3 와 산성인 NiNO_3 을 선택하여 각각 YSZ와 혼합하였다. NiCO_3 의 경우는 혼합 후 건조, 하소에 아무런 문제가 없었으나, NiNO_3 의 경우는 NiNO_3 의 융점이 56.7°C 로 회전 증발기로는 건조를 시킬 수 없어 400°C 로 열처리한 다음 800°C 로 하소하여 Ni/YSZ 복합분말을 제조하였다. 녹은 NiNO_3 는 YSZ 분말의 표면에 스며들어 균일한 복합분말을 이루었을 것으로 예상된다. 이를 복합분말로부터 제조한 Ni/YSZ 복합체의 미세구조를 Figs. 2, 3에 나타내었다. NiNO_3 만을 사용한 10N 복합분말이 NiCO_3 만을 사용한 10C 보다 균일한 구조를 보여주었으며, 이는 Ni 을 산으로 녹여 내고 얻은 YSZ 뼈대의 미세구조를 비교한 결과 같은 경향임을 알 수 있었다. 10N의 복합체는 YSZ 뼈대가 가늘고 균일하게 분포되어 있으나, 10C 복합체의 경우 큰 기공과 작은 폐기공, 커다란 Ni 입자, 굽고 불균일한 YSZ 뼈대로 이루어진 불균일한 미세구조를 나타내고 있다. 이런 현상의 차이는 1200°C 에서 하소한 복합분말의 Ni/YSZ 복합체에서는 적게 나타났다. 10N의 복합체 경우 기공의 크기가 커지고 YSZ 뼈대도 두꺼워짐을 볼 수 있다. 이는 10N의 경우 1200°C 열처리로 복합분말의 입자가 커져 YSZ 뼈대가 좀 더 굽어지며, 기공의 크기도 커진 것을 볼 수 있었다. 10C의 경우는 Ni/YSZ 의 불균일한 미세구조로 보아 복합 분말이 균일하지 않음을 알 수 있다. 이는 NiCO_3 의 분해로 인하여 생기는 NiO 분말은 미세하여 응집이 쉽게 일어나

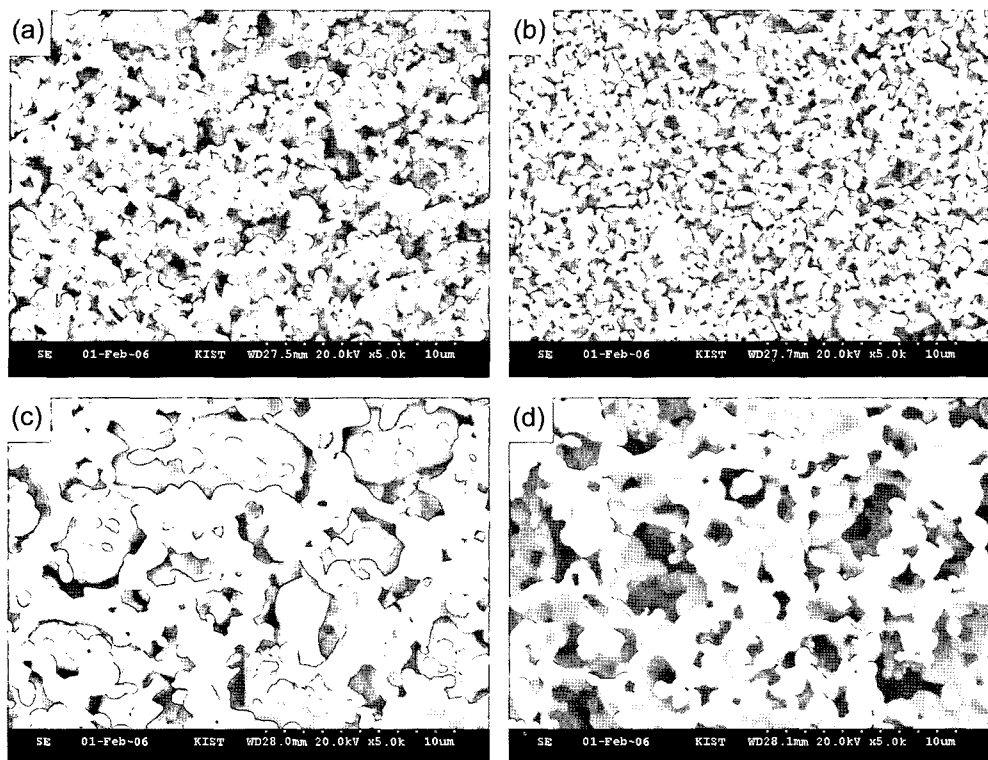


Fig. 2. SEM micrographs of Ni/YSZ cermets and YSZ network prepared from various NiO/YSZ composite powders calcined at 800°C/2 h: (a) as reduced of 10N, (b) acid-etched a, (c) as reduced 10C, and (d) acid-etched c.

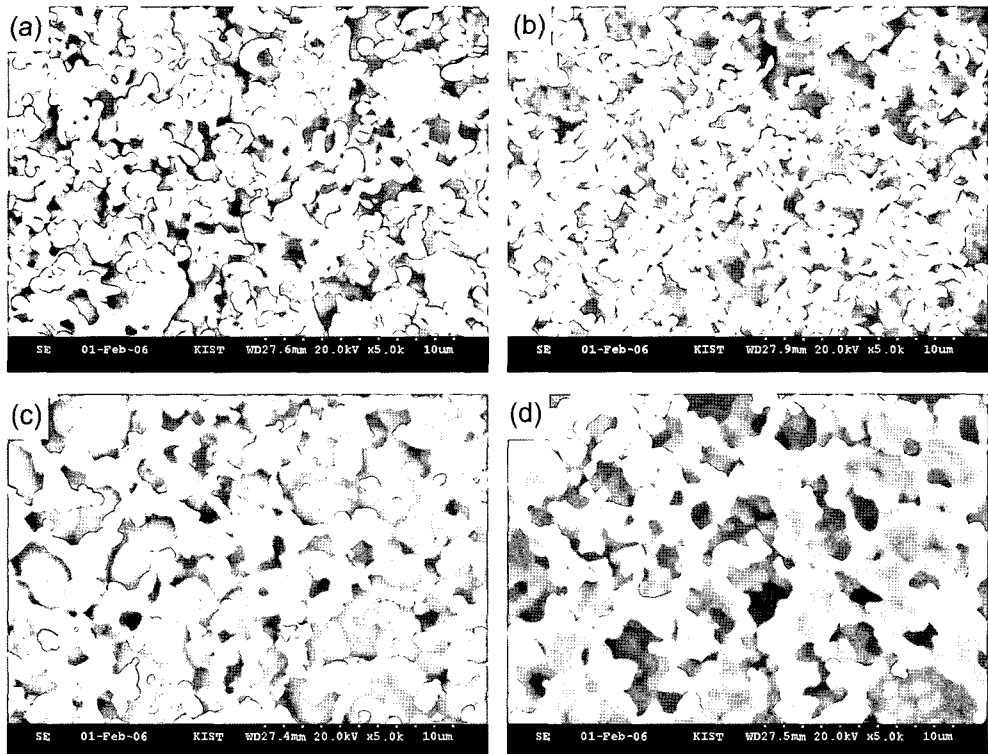


Fig. 3. SEM micrographs of Ni/YSZ cermets and YSZ network prepared from various NiO/YSZ composite powders calcined at 1200°C/2 h: (a) as reduced of 10N, (b) acid-etched a, (c) as reduced 10C, and (d) acid-etched c.

균일한 복합분말을 형성하기 어렵고, 따라서 소결시 불균일한 복합체를 만드는 것으로 보인다. 1200°C 하소한 분말의 복합체가 800°C의 것보다 좀 덜 불균일한 것은, 1200°C에서 하소한 복합분말의 입자가 크게 성장하여, 소결 속도의 차이가 적어져, 불균일성이 줄어든 것으로 보인다. 이들 결과로부터 70 wt%의 NiO을 NiCO₃만을 사용할 경우

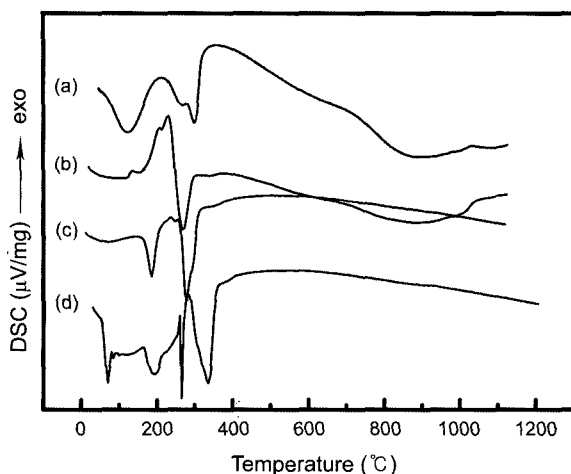


Fig. 4. TG/DSC curves of various dried NiO/YSZ powders heated at a heating rate of 10°C/min in air: (a) NiCO₃, (b) 1N9C, (c) 4N6C, and (d) NiNO₃.

균일한 복합분말을 얻을 수 없으며, NiNO₃만을 사용할 경우 Ni 입자가 커지고, YSZ 뼈대가 가는 점외에도 건조가 힘들고, 또한 하소시 질산기 분해에 의한 공해 발생의 문제점이 있는 것으로 나타났다. 이들 두 전구체가 염기성과 산성을 나타냄으로 산-알카리의 화학 반응을 이용할 수 있는 가능성을 보기 위하여 이들의 DSC를 Fig. 4에 비교하였다. NiCO₃와 NiNO₃를 혼합한 분말의 DSC 곡선 (b)과 (c)는 10N(a)과 10C(d)의 DSC 곡선들과는 다르며, 또한 분해 온도가 낮아짐을 볼 수 있다. 이는 단순히 물리적으로 혼합되어 있는 것이 아니라, 이들 사이에 화학반응이 일어났음을 나타내는 것이다. 따라서 NiCO₃와 NiNO₃를 혼합하여 NiO의 전구체로 사용하면 굽은 YSZ 뼈대와 균일한 미세구조를 얻을 수 있을 것이라 사료되어, 1N9C와 4N6C의 복합분말을 제조하였다. 이들 Ni/YSZ 복합체와 YSZ 뼈대의 미세구조를 Figs. 5, 6에 비교하였다. 이들 복합체는 10N과 10C와는 달리 균일한 구조를 나타내는 것을 볼 수 있는데, 4N6C는 NiNO₃가 많이 첨가된 만큼 10N과 비슷한 구조를 가지는 것을 볼 수 있는 반면, 1N9C는 YSZ 뼈대가 굽은 것이 10C의 경우와 비슷하며, 소량의 NiNO₃가 응집과 NiO의 빠른 성장을 억제하여 미세구조는 10C와는 달리 균일하게 이루어져 있음을 볼 수 있다.

이들 시편들의 밀도로부터 계산한 기공율은 NiNO₃ 분말을 많이 사용한 4N6C의 기공률이 800°C 하소한 분말의 경

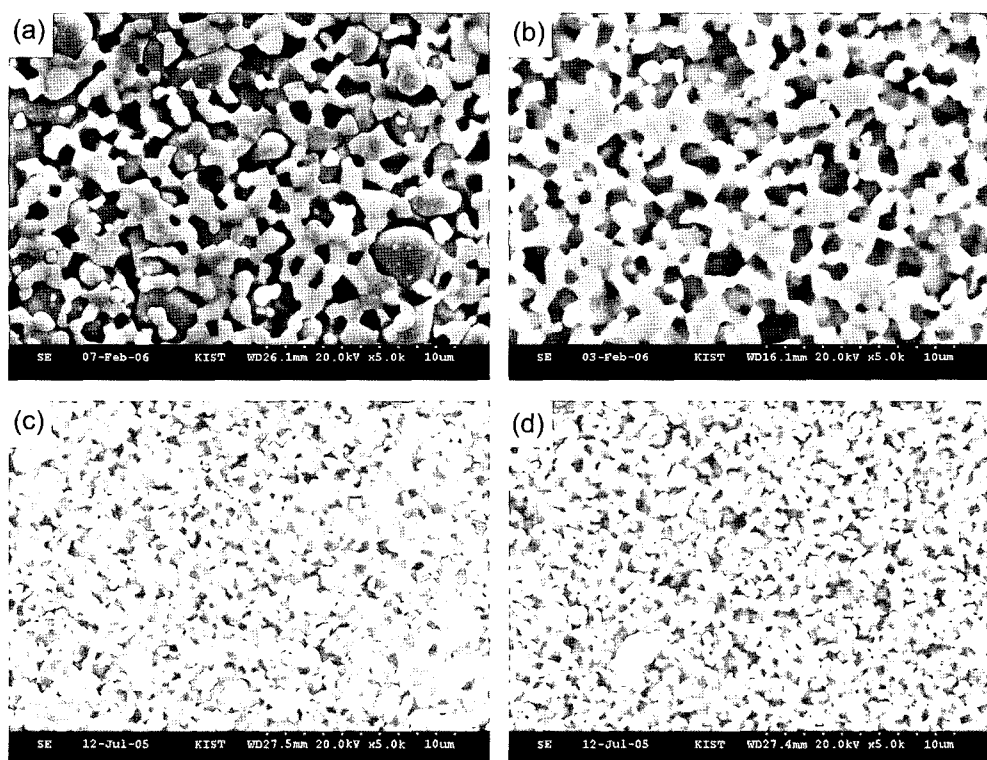


Fig. 5. SEM micrographs of Ni/YSZ cermets and YSZ network prepared from various NiO/YSZ composite powders calcined at 800°C/2 h: (a) as reduced of 1N9C, (b) acid-etched a, (c) as reduced 4N6C, and (d) acid-etched c.

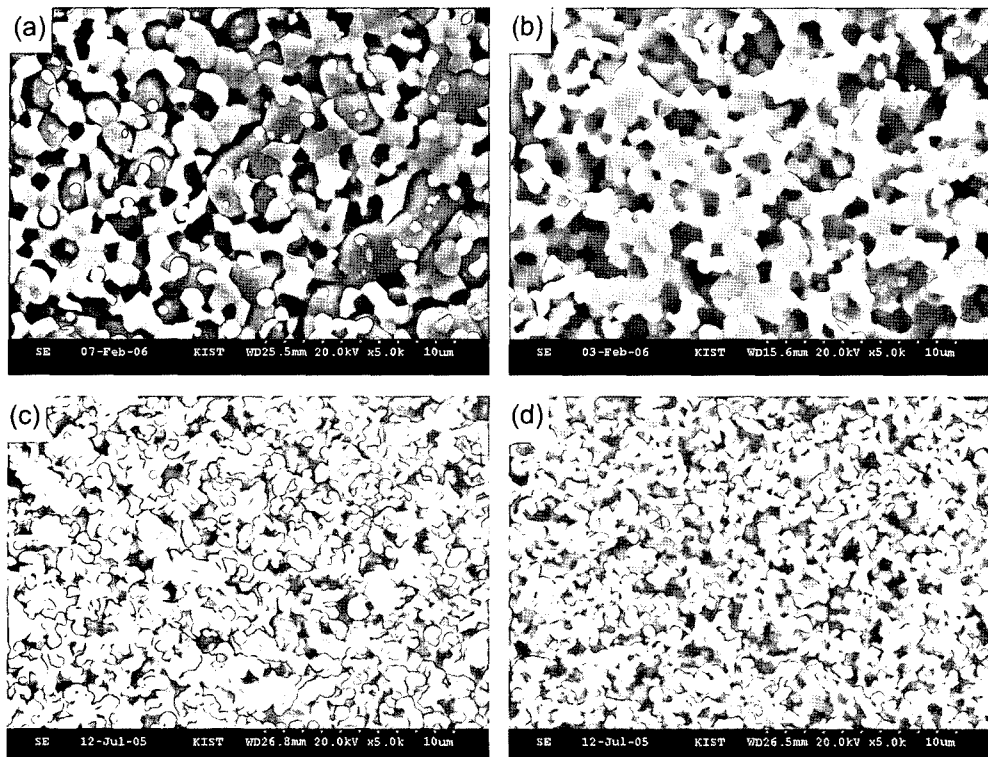


Fig. 6. SEM micrographs of Ni/YSZ cermets and YSZ network prepared from various NiO/YSZ composite powders calcined at 1200°C/2 h: (a) as reduced of 1N9C, (b) acid-etched a, (c) as reduced 4N6C, and (d) acid-etched c.

우는 28%, 1200°C 하소한 분말의 경우는 32%를 나타내고, NiNO_3 가 적은 1N9C의 경우는 800°C, 1200°C의 경우 모두 ~19%를 나타내었으며, 이는 SEM 사진과도 일치함을 알 수 있었다. 10N과 4N6C의 시편은 힘을 가하면 쉽게 부러지는데, 이는 YSZ 뼈대가 가늘고, 약하게 연결되어 있기 때문이다. 그러나 10C와 1N9C의 경우는 부러뜨리기가 힘든데, 이는 YSZ 뼈대가 굵기 때문인 것으로 사료된다. 또한 1200°C 하소한 분말의 소결체가 800°C 하소한 분말의 소결체보다 높은 기공율을 보여 주는 것은 NiO/YSZ 복합 분말의 입자가 커서 소결이 잘 이루어지지 않은데 기인하는 것으로, 30~40%의 기공율이 요구되는 Ni/YSZ 복합체 제조시 기공원으로 고분자나 탄소를 사용하는 대신 입도가 큰 분말을 사용할 수 있음을 보여 주는 결과이다.

4% H_2/Ar 4-단자법으로 측정한 Ni/YSZ 복합체의 전기전도도를 Fig. 7에 나타내었다. 일반적으로 음극의 전기전도도는 실제 연료전지의 작동 온도인 ~1000°C에서 1000 S/cm 이상의 값이 요구되어지고 있다. NiNO_3 와 NiCO_3 로부터 생성되는 NiO의 몰 비를 1:9(1N9C)와 4:6(4N6C)로 하여 NiO/YSZ 복합 분말을 제조하여, Ni/YSZ 음극을 제조한 경우가 1000°C에서의 전기전도도가 >1500 S/cm로 NiO의 전구체로 NiNO_3 (680 S/cm)나 NiCO_3 (920 S/cm)만 사용한 경우보다 크게 향상된 것을 볼 수 있었다. 1N9C의 복합체는 전기전도도 값이 18800 S/cm로 높은 것을 볼

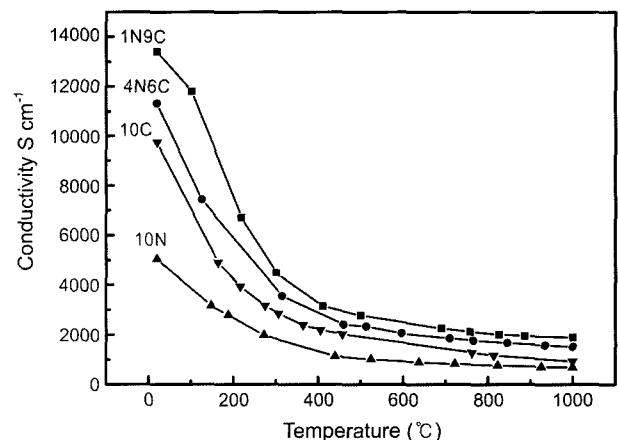


Fig. 7. Electrical conductivities of various Ni/YSZ cermets in 4% H_2/Ar prepared from NiO/YSZ composite powders calcined at 1200°C/2 h.

수 있었다. 이는 SEM 사진에서 본 것처럼 Ni/YSZ 복합체의 미세구조의 균일도가 전기전도도에 영향을 미침을 입증하는 것이다.

4. 결 론

NiO/YSZ 복합 분말(70 wt% NiO) 제조시 NiO의 전구체

로 산성계 NiNO_3 와 염기성계 NiCO_3 를 볼 밀링으로 혼합하여 이들 사이의 산-알카리 화학 반응을 유도시켜, 균일한 Ni/YSZ 복합체를 제조하고자 하였다. NiNO_3 와 NiCO_3 로부터 생성되는 NiO의 몰 비를 1:9(1N9C)와 4:6(4N6C)인 NiO/YSZ 복합 분말을 제조하여, Ni/YSZ 음극을 제조한 경우 1000°C 에서의 전기전도도가 $>1500 \text{ S/cm}$ 로 NiO의 전구체로 NiNO_3 나 NiCO_3 만 사용한 경우 보다 크게 향상된 것을 관측하였다. 1N9C의 경우는 YSZ 뼈대가 굵고 균일하며 높은 취급강도를 나타내었다. 1200°C 에서 하소한 복합분말의 복합체가 800°C 에서 하소한 분말의 복합체 보다 높은 기공율을 나타내었으며 4N6C의 경우는 기공율이 32%이었다.

위의 결과로부터 NiO의 전구체의 조합을 변화하여, 단순한 기계적 혼합 공정으로 균일한 미세구조와 높은 기공율과 전기전도도를 줄 수 있는 균일한 복합분말을 제조할 수 있음을 알 수 있었으며, 이러한 전략은 다른 복합분말 제조에 응용될 수 있을 것으로 사료된다.

Acknowledgment

본 연구는 에너지관리공단의 선행연구사업과 한국과학기술연구원의 기관고유사업의 지원으로 수행되었으며, 이에 감사드립니다.

REFERENCES

- S. P. Jiang and S. H. Chan, "A Review of Anode Materials Development in Solid Oxide Fuel Cells," *J. Mater. Sci.*, **39** 4405-39 (2004).
- W. Z. Zhu and S. C. Deevi, "A Review on the Status of Anode Materials for Solid Oxide Fuel Cells," *Mater. Sci. Eng. A*, **362** 228-39 (2003).
- R. M. C. Clemmer and S. F. Corbin, "Influence of Porous Composite Microstructure on the Processing and Properties of Solid Oxide Fuel Cell Anodes," *Solid State Ionics*, **166** 251-59 (2004).
- K. V. Jensen, S. Primdahl, I. Chorkendorff, and M. Mogensen, "Microstructural and Chemical Changes at the Ni/YSZ Interface," *Solid State Ionics*, **144** 197-209 (2004).
- J. H. Lee, H. Moon, H. W. Lee, J. Kim, J. D. Kim, and K. H. Yoon, "Quantitative Analysis of Microstructure and Its Related Electrical Property of SOFC Anode, Ni-YSZ Cermet," *Solid State Ionics*, **148** 15-26 (2002).
- T. Fukui, S. Ohara, M. Naito, and K. Nogi, "Performance and Stability of SOFC Anode Fabricated from NiO/YSZ Composite Particles," *J. Eur. Ceram. Soc.*, **23** 2963-67 (2003).
- M. Marinsek, K. Zupan, and J. Maeek, "Ni-YSZ Cermet Anodes Prepared by Citrate/Nitrate Combustion Synthesis," *J. Power Sources*, **106** 178-88 (2002).
- S. H. Jo, J. H. Kim, and D. K. Kim, "Synthesis of Nanocrystalline Ceria for IT-SOFC by Glycine Nitrate Combustion Process(*in Korean*)," *J. Kor. Ceram. Soc.*, **42** [12] 821-26 (2005).
- Y. Okawa and Y. Hirata, "Sinterability, Microstructure and Electrical Properties of Ni/Sm-Doped Ceria Cermet Process with Nanometer-Sized Particles," *J. Eur. Ceram. Soc.*, **25** 473-80 (2005).
- P. Duran, J. Tartaj, F. Capel, and C. Moure, "Processing and Characterization of a Fine Nickel Oxide/Zirconia/Composite Prepared by Polymeric Complex Solution Synthesis," *J. Eur. Ceram. Soc.*, **23** 2125-33 (2003).
- Y. Li, Y. Xie, J. Gong, Y. Chen, and Z. Zhang, "Preparation of Ni/YSZ Materials for SOFC Anodes by Buffer-Solution Method," *Mater. Sci. Eng.*, **B86** 119-22 (2001).
- D. Simwonis, A. Naoumidis, F. J. Dias, J. Linke, and A. Moropoulou, "Material Characterization in Support of the Development of Anode Substrate for Solid Oxide Fuel Cells," *J. Mater. Res.*, **12** 1508-18 (1997).
- J.-H. Lee, J.-W. Heo, D.-S. Lee, J. Kim, G.-H. Kim, H.-W. Lee, H. S. Song, and J.-H. Moon, "The Impact of Anode Microstructure on the Power Generating Characteristics of SOFC," *Solid State Ionics*, **158** 225-32 (2003).
- T. Fukui, K. Murata, S. Ohara, H. Abe, M. Naito, and K. I. Nogi, "Morphology Control of Ni-YSZ Cermet Anode for Lower Temperature Operation of SOFC," *J. Power Sources*, **125** 17-21 (2004).
- Y. Yin, W. Zhu, C. Xia, and G. Meng, "Gel-Cast NiO-SDC Composites as Anodes for Solid Oxide Fuel Cells," *J. Power Sources*, **132** 36-41 (2004).